

ИЗВЕСТИЯ  
ТОМСКОГО ОРДЕНА ОКТЯБРЬСКОЙ РЕВОЛЮЦИИ И ОРДЕНА  
ТРУДОВОГО КРАСНОГО ЗНАМЕНИ ПОЛИТЕХНИЧЕСКОГО ИНСТИТУТА  
ИМЕНИ С. М. КИРОВА

Том 188

1974

ИССЛЕДОВАНИЕ НАГРУЗОЧНОЙ СПОСОБНОСТИ  
ЗУБЧАТЫХ ПЕРЕДАЧ  
С ПОВЫШЕННЫМ УГЛОМ ЗАЦЕПЛЕНИЯ  
ПРИ РАЗЛИЧНЫХ СКОРОСТЯХ

А. Е. БЕЛЯЕВ

(Представлена научным семинаром кафедры прикладной механики)

Эвольвентные зубчатые передачи имеют значительные резервы повышения несущей способности, снижения габаритов и веса за счет модификаций исходного контура. Работы последних лет [5, 6, 8, 11] показывают, что несущая способность зубчатых передач может быть повышена за счет применения режущего инструмента с профильным углом  $\alpha_0 > 20^\circ$ .

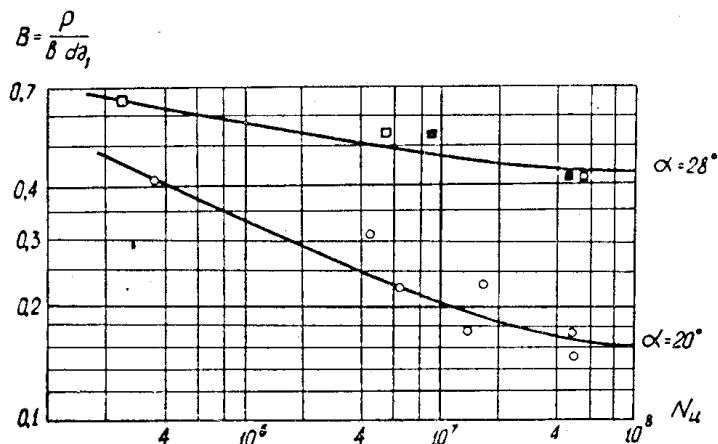


Рис. 1. Нагрузочная способность зубчатых колес по данным работы [1, 2]

В ряде работ приводятся данные, согласно которым крупные зарубежные организации и фирмы по производству редукторов (например, «Лаваль», «Аллен» и т. п.) применяют в настоящее время для нарезки зубчатых передач инструмент с профильным углом  $22^\circ 30'$  и  $25^\circ$ . Однако литературные данные по вопросу исследования несущей способности консузных передач, нарезанных инструментом с модифицированным профильным углом, немногочисленны и противоречивы. Экспериментов же, проведенных при высоких скоростях, нам вообще не известно.

Теоретические исследования В. Н. Кудрявцева [7, 9, 10] и экспериментальные работы в ЛПЗ и ЛВВИА им. Можайского, а также немногочисленные эксперименты Г. Нимана [12, 13] говорят о том, что использо-

зование нестандартных исходных контуров для косозубых передач позволяет повысить их несущую способность по сравнению с такими же (по точности, термообработке и материалам) передачами стандартного зацепления. На рис. 1 показано сравнение несущей способности зубчатых передач, нарезанных стандартным и нестандартным режущим инструментом (опыты Г. Нимана).

У Г. Реттинга [14] несущая способность зубчатых передач с углом  $\alpha_0 = 28^\circ$  во всем диапазоне испытанных углов была почти равнозначной передачам, нарезанным инструментом со стандартным профильным углом.

Однако, например, в работе [2] высказывается мнение, что использование исходных контуров с  $\alpha_0 > 20^\circ$  для косозубых передач отрицательно сказывается на несущей способности в связи с заметным уменьшением суммарной длины контактных линий.

В настоящее время в нашей стране и за рубежом исследованиям при скоростях  $3 \div 15 \text{ м/сек}$  подвергались зубчатые передачи, соответствующие исходным контурам с повышенными значениями  $\alpha_0$ . При анализе нестандартных исходных контуров следует оценить влияние их параметров на несущую способность передач по контактной и изломной прочности. Эта оценка производилась по формуле Герца, которая согласно методике [9] (применительно к косозубым передачам) для нестандартного и стандартного исходного контура может быть записана в виде

$$[M_1]^{\text{nc}} = \Omega \cdot \frac{[C_k] \cdot d_{d_1} \cdot B_p \cdot \rho_{\text{пр.р.}}^{\text{nc}} \cdot \lambda_{\min}^{\text{nc}} \cdot \varepsilon_s^{\text{nc}}}{k \cdot (k_{\text{hp}}^{\beta})^{\text{nc}}} \cdot \cos \alpha_{on}^{\text{nc}}, \quad (1)$$

$$[M_1] = \Omega \cdot \frac{[C_k] \cdot d_{d_1} \cdot B_p \cdot \rho_{\text{пр.р.}} \cdot \lambda_{\min} \cdot \varepsilon_s}{k \cdot k_{\text{hp}}^{\beta}} \cdot \cos \alpha_{on}. \quad (2)$$

В этих формулах

$[M_1]^{\text{nc}}$ ,  $[M_1]$  — допускаемый момент на шестерне, нарезанной соответственно нестандартным и стандартным исходным контуром;

$[C_k]$  — допускаемое значение коэффициента контактных напряжений;

$B_p$  — рабочая ширина венца шестерни;

$d_{d_1}$  — диаметр делительной окружности шестерни;

$\rho_{\text{пр.р.}}^{\text{nc}}$ ,  $\rho_{\text{пр.р.}}$  — приведенные радиусы кривизны в полюсе зацепления соответственно для нестандартных и стандартных передач;

$\varepsilon_s^{\text{nc}}$ ,  $\varepsilon_s$  — коэффициент перекрытия в торцевой плоскости соответственно для пар, нарезанных нестандартным и стандартным исходным контуром;

$\lambda_{\min}^{\text{nc}}$ ,  $\lambda_{\min}$  — коэффициент уменьшения длины контактных линий для нестандартной и стандартной передач;

$(k_{\text{hp}}^{\beta})^{\text{nc}}$ ,  $k_{\text{hp}}^{\beta}$  — коэффициент концентрации удельной нагрузки в зоне минимальной контактной прочности зубьев;

$k$  — коэффициент, учитывающий влияние неравномерности распределения нагрузки по длине зуба и дополнительные динамические нагрузки в передаче;

$\alpha_{on}^{\text{nc}}$ ,  $\alpha_{on}$  — профильный угол нестандартного и стандартного инструмента в нормальном сечении;

---

\* Здесь и далее индекс «nc» будет относиться к зубчатым передачам, нарезанным инструментом с повышенным углом исходного контура.

$\Omega$  — коэффициент пропорциональности.

Оценим влияние геометрии на несущую способность передачи с помощью коэффициента  $\chi^*$ .

$$\chi = \frac{[M_1]^{nc}}{[M_1]} = \frac{\rho_{np,p}^{nc} \cdot \cos \alpha_{on}^{nc} \cdot \varepsilon_s^{nc} \cdot \lambda_{min}^{nc} \cdot K_{np}^\beta}{\rho_{np,p} \cdot \cos \alpha_{on} \cdot \varepsilon_s \cdot \lambda_{min} \cdot (K_{np}^\beta)^{nc}}. \quad (3)$$

Последней зависимостью можно оценить влияние на несущую способность:

- 1) величины отношений радиусов кривизны

$$\frac{\rho_{np,p}^{nc}}{\rho_{np,p}} = \frac{\sin \alpha_{on}^{nc}}{\sin \alpha_{on}} \cdot \frac{\cos^2 \beta_0}{(\cos^2 \beta_0)^{nc}}, \quad (4)$$

где

$\beta_0^{nc}$  и  $\beta_0$  — углы наклона зуба на основных цилиндрах зубчатых колес соответственно изготовленных нестандартным и стандартным исходным контуром,

- 2) величины отношения суммарных длин контактных линий

$$\frac{\varepsilon_s^{nc}}{\varepsilon_s} \cdot \frac{\lambda_{min}^{nc}}{\lambda_{min}},$$

- 3) величины отношения коэффициентов концентрации удельной нагрузки

$$\frac{k_{np}^\beta}{(k_{np}^\beta)^{nc}},$$

- 4) величины отношения нормальных усилий в зацеплении

$$\frac{\cos \alpha_{on}^{nc}}{\cos \alpha_{on}}.$$

В связи с тем, что оценка несущих способностей передач носит сравнительный характер, влияние коэффициентов  $(k_{np}^\beta)^{nc}$  и  $k_{np}^\beta$  не учитывается. Принимая во внимание также, что  $B_p/t_a = 2$ , считаем  $\lambda_{min}^{nc} = \lambda_{min}$ . При этих условиях формула 3 принимает вид:

$$\chi = \frac{\cos 2\alpha_{on}^{nc}}{\cos 2\alpha_{on}} \cdot \frac{\varepsilon_s^{nc}}{\varepsilon_s}. \quad (5)$$

Расчет по формуле 5 показывает, что для наших экспериментальных передач нагрузочная способность (у равнотвердых улучшенных передач) с переходом на профильный угол  $\alpha_0 = 27^\circ$  может увеличиваться приблизительно на 8—10% (рис. 2, а).

Результаты экспериментов Г. Нимана и предложенная им зависимость не согласуются с данными, полученными в ЛЗП. Удвоенное значение величины  $B = \frac{P}{B_p \cdot d_d}$  (рис. 1), зафиксированное при испытании передач  $\alpha_0 = 28^\circ$  (по сравнению со стандартными двадцатиградусными колесами), вызывает сомнение.

---

\* Сравнение ведем для улучшенных косозубых передач с одинаковыми размерами и технологическими параметрами ( $z_1 = 28$ ;  $m_n = 3$ ;  $i \approx 2$ ,  $B_p = 30 \text{ мм}$ ;  $\beta_d = 19^\circ 11' 17''$ ;  $\xi = 0$ , НВ = 250÷262, степень точности — пятая). Разным является лишь угол зацепления:  $\alpha_0 = 20^\circ$  и  $\alpha_0^{nc} = 27^\circ$ .

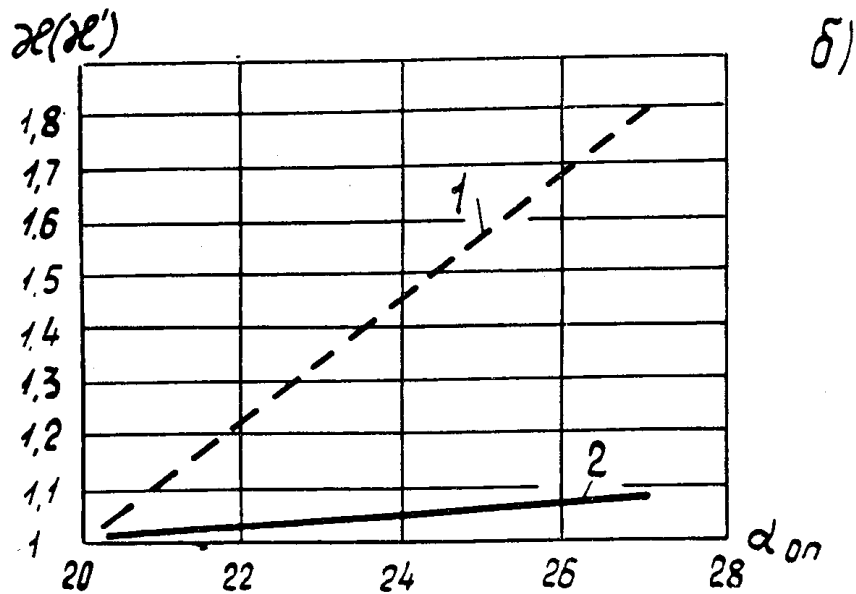
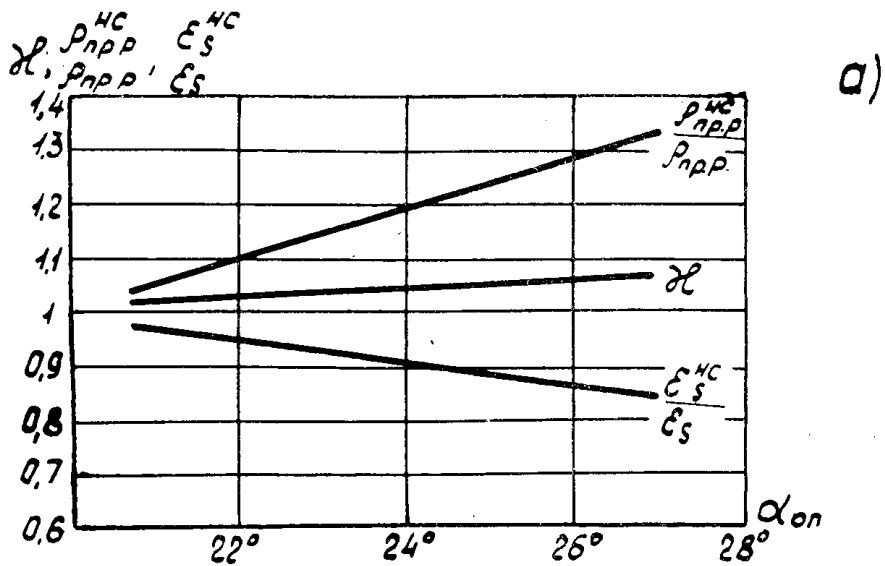


Рис. 2. а — результаты расчета по формуле (3, 5); б — значение коэффициента  $\kappa'$  и  $\kappa$ : 1 — по формуле 6, 2 — по методике [9]

Расчет несущей способности передач по методике [13] ведется по коэффициенту, характеризующему отношение несущей способности, который для экспериментальных передач примет вид

$$\kappa' = \frac{(\sin^3 \alpha_{on})^{hc} \cdot (\cos^2 \alpha_{on})^{hc} \cdot \varepsilon_s^{hc}}{\sin^3 \alpha_{on} \cdot \cos^2 \alpha_{on} \cdot \varepsilon_s}. \quad (6)$$

Сравнение результатов расчета по формулам 5 и 6 показано на рис. 2, б.

Из изложенного следует, что применение повышенных профильных углов передач приводит к росту их несущей способности из условий контактной прочности.

Применение модифицированных исходных контуров ( $\alpha_0 > 20^\circ$ ) положительно сказывается и на изломной прочности передач. При этом рост изломной прочности обусловливается увеличением толщины зuba в опас-

ном сечении. Проделанные расчеты коэффициентов формы зубьев, найденных на основании гипотезы А. В. Верховского, а также эксперименты на пульсаторах подтверждают приведенное выше положение.

Экспериментальное исследование зубчатых передач, нарезанных инструментом с нестандартным исходным контуром, показывает, что нагрузочная способность их выше на 18—22% по сравнению с такими же передачами, выполненными с  $\alpha_0 = 20^\circ$ . Необходимо заметить, что подобное же увеличение нагрузочной способности зубчатых передач зафиксировано в ранее проведенных экспериментах при скоростях до 15 м/сек ЛЗП.

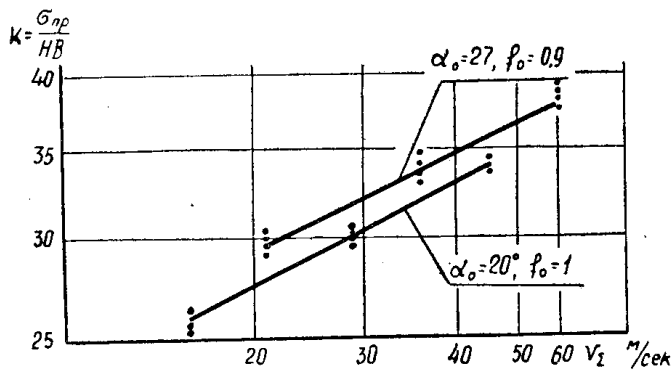


Рис. 3. Результаты экспериментального исследования зубчатых передач с  $\alpha_0 = 20^\circ$ ,  $f_0 = 1$  и  $\alpha_0 = 27^\circ$ ,  $f_0 = 0.9$

На рис. 3 приведены значения коэффициента  $K = \frac{\sigma_k}{HB}$ , полученного в результате обработки экспериментальных данных (с учетом величин  $\sigma_{\text{пр.р}}$  и  $L_k$ ), причем отношение величины  $K$  для передач с  $\alpha_0 = 27^\circ$  к величине  $K$  для стандартных передач остается приблизительно постоянным во всем диапазоне скоростей.

Нагрузочная способность, полученная опытным путем, выше, чем следует из формулы 3. Указанное несоответствие можно объяснить следующим. С ростом угла зацепления растет и суммарная скорость качения  $v_{\Sigma}$ , которая, как было показано в [1], положительно сказывается на контактной прочности зубчатых передач. Учитывая зависимость, полученную нами при изучении влияния скоростей на прочность рабочих поверхностей зубьев, можно провести сравнение передач, нарезанных стандартным и нестандартным исходным контуром. Эта зависимость имеет вид

$$K = \theta \cdot v_{\Sigma}^{0.2},$$

где

$\theta$  — коэффициент пропорциональности.

Заметив, что  $v_{\Sigma} = 2v_{\text{окр}} \cdot \sin \alpha_s$ , найдем, что отношение коэффициентов для сравниваемых контуров будет зависеть лишь от  $\alpha_s$ .

$$\frac{K_{\alpha=27}}{K_{\alpha=20}} = \frac{(\theta \cdot v_{\Sigma}^{0.2})_{\alpha=27}}{(\theta \cdot v_{\Sigma}^{0.2})_{\alpha=20}} = \frac{(\sin \alpha_s)_{\alpha=27}}{(\sin \alpha_s)_{\alpha=20}}. \quad (10)$$

При принятых нами значениях  $\alpha_0$  и  $\beta_d$  это отношение оказывается равным 1,05. Таким образом, увеличение нагрузочной способности испытанных нами передач со значением  $\alpha_0 = 27^\circ$  только за счет увеличения скорости качения профилей достигает 5%.

Учитывая, что рост нагрузочной способности за счет геометрических параметров передач (формула 5) составляет 9%, общее увеличение несущей способности должно оказаться приблизительно равным  $1,05 \cdot 1,09 = 1,15$ . Полученные нами результаты испытаний подтверждают приведенные расчеты.

## Выводы

1. Нагрузочная способность передач, нарезанных инструментом с  $\alpha_0 > 20^\circ$ , увеличивается по сравнению с передачами, нарезанными стандартным инструментом.
2. Резкое повышение нагрузочной способности зубчатых колес ( $\sim$  в 2 раза), рекламируемое некоторыми иностранными авторами, не подтверждается.
3. Нагрузочная способность зубчатых передач, нарезанных инструментом с нестандартным исходным контуром, увеличивается с ростом скорости.
4. Экспериментально зафиксированная несущая способность зубчатых передач, нарезанных инструментом с  $\alpha_0 = 27^\circ$  и  $f_0 = 0,9$  в интервале скоростей  $20 \div 60$  м/сек, больше нагрузочной способности стандартных передач на  $18 \div 22\%$ .
5. Разница между расчетной нагрузочной способностью передач с  $\alpha_0 = 27^\circ$  и  $f_0 = 0,9$  и полученной экспериментально составляет  $12 \div 13\%$ . Указанное несоответствие исчезнет, если учесть влияние скорости качения на контактную прочность.

## ЛИТЕРАТУРА

1. А. Е. Беляев. Влияние скорости на контактную прочность зубчатых передач. Изв. ТПИ, № 147, Томск, 1966.
2. Э. Б. Вулгаков. О некоторых резервах несущей способности эвольвентного зубчатого зацепления. «Проблемы качества и прочности зубчатых передач», ЦБТИ, М., 1961.
3. Э. Б. Вулгаков. О нагрузочной способности зубчатых передач, нарезанных нестандартным контуром. М., 1962.
4. В. А. Гавриленко. Некоторые геометрические аспекты зубчатых передач, повышающие нагрузочную способность зубьев. «Проблемы качества и прочности зубчатых передач». П, ЦБТИ, М., 1961.
5. И. М. Килимов. Экспериментальное исследование нагрузочной способности косозубых передач с эвольвентным зацеплением. «Сб. трудов ЛМИ», № 15, 1960.
6. А. И. Кораблев. Об использовании зубчатых колес эвольвентного зацепления с модифицированным исходным контуром в авиадвигателях гражданского воздушного флота. Сб. «Вопросы геометрии и динамики зубчатых передач», «Наука», Н., 1964.
7. В. Н. Кудрявцев. Зубчатые передачи. Машгиз, 1957.
8. В. Н. Кудрявцев. Совершенствование зубчатых передач. «Ленинградская промышленность», № 4, 1958.
9. В. Н. Кудрявцев. Упрощенные расчеты зубчатых передач. Машгиз, 1960.
10. В. Н. Кудрявцев. К расчетам на прочность зубчатых передач. Сб. трудов ЛМИ, № 23, 1962.
11. L. Müller, Przeglad mechaniczny, XX, № 5, 1961.
12. G. Niemann, W. Richter, Konstruktion, Heft 6, Juni, 1960.
13. G. Niemann, W. Richter, Konstruktion, Heft 10, Okt., 1960.
14. H. Rettig, Maschinenbautechnik, Januar, Heft, 1, 1958.